

Calibration d'un modèle à volatilité stochastique et sauts dans Premia7

A. BEN HAJ YEDDER adel@freesurf.fr

J. DA FONSECA jose.da_fonseca@devinci.fr

: *Sauts : Modèle de Merton*

- Volatilité constante σ

: *Sauts : Modèle de Merton*

- Volatilité constante σ
- Modèle de poisson pour le saut d'intensité constante λ

: *Sauts : Modèle de Merton*

- Volatilité constante σ
- Modèle de poisson pour le saut d'intensité constante λ
- Loi log-normale pour l'amplitude des sauts

: Sauts : Modèle de Merton

- Volatilité constante σ
- Modèle de poisson pour le saut d'intensité constante λ
- Loi log-normale pour l'amplitude des sauts

$$\begin{cases} \frac{dS_t}{S_t} &= (r - d)dt + \sigma dW_t + (e^J - 1)dN_t \\ S(t = 0) &= S_0 \end{cases}$$

avec $J \sim \mathcal{N}(m, v)$.

- Dynamique de la volatilité en "*racine carrée*"

: Volatilité stochastique : Modèle de Heston

- Dynamique de la volatilité en "*racine carrée*"
- Paramètres : κ (force de rappel), θ (valeur moyenne) et σ_v (volatilité de la volatilité)

: Volatilité stochastique : Modèle de Heston

- Dynamique de la volatilité en "*racine carrée*"
- Paramètres : κ (force de rappel), θ (valeur moyenne) et σ_v (volatilité de la volatilité)

$$\left\{ \begin{array}{lcl} \frac{dS_t}{S_t} & = & (r - d)dt + \sqrt{V_t}dW_t^1 \\ dV_t & = & \kappa(\theta - V_t)dt + \sigma_v\sqrt{V_t}dW_t^2 \\ S(t=0) & = & S_0 \\ V(t=0) & = & V_0 \end{array} \right.$$

avec $d < W^1, W^2 >_t = \rho dt$.

Volatilité stochastique + sauts

Combinaison des modèles de Merton et Heston :

$$\left\{ \begin{array}{lcl} \frac{dS_t}{S_t} & = & (r - d)dt + \sqrt{V_t}dW_t^1 + (e^J - 1)dN_t \\ dV_t & = & \kappa(\theta - V_t)dt + \sigma_v\sqrt{V_t}dW_t^2 \\ S(t=0) & = & S_0 \\ V(t=0) & = & V_0 \end{array} \right.$$

avec $d < W^1, W^2 >_t = \rho dt$ et $J \sim \mathcal{N}(m, v)$.

- Paramètres à calibrer :

- Paramètres à calibrer :
 - Merton (4) : σ, λ, m, v

- Paramètres à calibrer :
 - Merton (4) : σ, λ, m, v
 - Heston (5) : $V_0, \kappa, \theta, \sigma_v, \rho$

- Paramètres à calibrer :
 - Merton (4) : σ, λ, m, v
 - Heston (5) : $V_0, \kappa, \theta, \sigma_v, \rho$
 - Merton + Heston (8) : $V_0, \kappa, \theta, \sigma_v, \rho, \lambda, m, v$

- Paramètres à calibrer :
 - Merton (4) : σ, λ, m, v
 - Heston (5) : $V_0, \kappa, \theta, \sigma_v, \rho$
 - Merton + Heston (8) : $V_0, \kappa, \theta, \sigma_v, \rho, \lambda, m, v$
- Algorithme d'optimisation : algorithme de BFGS avec contraintes de types bornes ($a_i \leq x_i \leq b_i$)

- Formules quasi-fermées pour les calls/puts européens [1] obtenues en appliquant une transformée de Fourier à l'EDP par Feynman-Kac.

[1] Artur Sepp, *Pricing European-Style Options under Jump Diffusion Processes with Stochastic Volatility: Applications of Fourier Transform*, Proceedings of the 7th Tartu Conference on Multivariate Statistics, (2004).

• Pricing (1)

- Formules quasi-fermées pour les calls/puts européens [1] obtenues en appliquant une transformée de Fourier à l'EDP par Feynman-Kac.
- Avec la convention $\varphi = 1$ (resp. -1) pour un call (resp. put) le prix est donné par :

$$F(S, t) = \varphi \left(e^{-d(T-t)} S_t P_1(\varphi) - e^{-r(T-t)} K P_2(\varphi) \right)$$

où $P_j(\varphi) = \frac{1-\varphi}{2} + \varphi \Pi_j$ pour $j \in \{1, 2\}$ avec

$$\Pi_j = \frac{1}{2} + \frac{1}{\pi} \int_0^\infty \Re \left[\frac{\phi_j(k)}{ik} \right] dk.$$

[1] Artur Sepp, *Pricing European-Style Options under Jump Diffusion Processes with Stochastic Volatility: Applications of Fourier Transform*, Proceedings of the 7th Tartu Conference on Multivariate Statistics, (2004).

: *Pricing (2) : fonctions caractéristiques*

$$\text{Notations : } \begin{cases} X = \ln(S_t/K) + (r - d)\tau & \text{avec } \tau = T - t, \\ u = +1, \quad I = 1, \quad b = \kappa - \rho\sigma_v & \text{si } j = 1 \\ u = -1, \quad I = 0, \quad b = \kappa & \text{si } j = 2 \end{cases}$$

Pour $j \in \{1, 2\}$ l'expression des fonctions ϕ_j est :

: Pricing (2) : fonctions caractéristiques

$$\text{Notations : } \begin{cases} X = \ln(S_t/K) + (r - d)\tau & \text{avec } \tau = T - t, \\ u = +1, \quad I = 1, \quad b = \kappa - \rho\sigma_v & \text{si } j = 1 \\ u = -1, \quad I = 0, \quad b = \kappa & \text{si } j = 2 \end{cases}$$

Pour $j \in \{1, 2\}$ l'expression des fonctions ϕ_j est :

$$\text{Merton :} \quad \phi_j(k) = e^{ikX + A(k, \tau) + B(k, \tau)V_0 + D(k, \tau)\lambda}$$

Avec :

$$\bullet \quad A(k, \tau) = 0$$

$$\bullet \quad B(k, \tau) = -1/2(k^2 - uik)\tau$$

$$\bullet \quad D(k, \tau) = \tau\Lambda(k) \text{ où}$$

$$\Lambda(k) = e^{(m+v^2/2)ik - v^2k^2/2 + I(m+v^2/2)} - 1 + (ik + I)(e^{m+v^2/2} - 1).$$

: Pricing (2) : fonctions caractéristiques

$$\text{Notations : } \begin{cases} X = \ln(S_t/K) + (r - d)\tau & \text{avec } \tau = T - t, \\ u = +1, \quad I = 1, \quad b = \kappa - \rho\sigma_v & \text{si } j = 1 \\ u = -1, \quad I = 0, \quad b = \kappa & \text{si } j = 2 \end{cases}$$

Pour $j \in \{1, 2\}$ l'expression des fonctions ϕ_j est :

$$\text{Heston :} \quad \phi_j(k) = e^{ikX + A(k, \tau) + B(k, \tau)V_0 + D(k, \tau)\lambda}$$

Avec :

$$\bullet \quad A(k, \tau) = -\frac{\kappa\theta}{\sigma_v^2} \left[\psi_+ \tau + 2 \ln \left(\frac{\psi_- + \psi_+ e^{-\tau\zeta}}{2\zeta} \right) \right]$$

$$\bullet \quad B(k, \tau) = -(k^2 - uik) \frac{1 - e^{-\tau\zeta}}{\psi_- + \psi_+ e^{-\tau\zeta}}$$

$$\bullet \quad D(k, \tau) = 0$$

$$\text{où } \psi_{\pm} = \mp(b - \rho\sigma_v ik) + \zeta \text{ et } \zeta = \sqrt{(b - \rho\sigma_v ik)^2 + \sigma_v^2(k^2 - iuk)}.$$

- Soit un ensemble d'options, de prix observées $prix_i^{obs}$, on définit 3 types de fonctions à minimiser :

$$\left\{ \begin{array}{lcl} f_1 & = & \sum_i ||prix_i - prix_i^{obs}||^2 \\ f_2 & = & \sum_i ||\frac{prix_i - prix_i^{obs}}{prix_i^{obs}}||^2 \\ f_3 & = & \sum_i ||\sigma_{imp,i} - \sigma_{imp,i}^{obs}||^2 \end{array} \right.$$

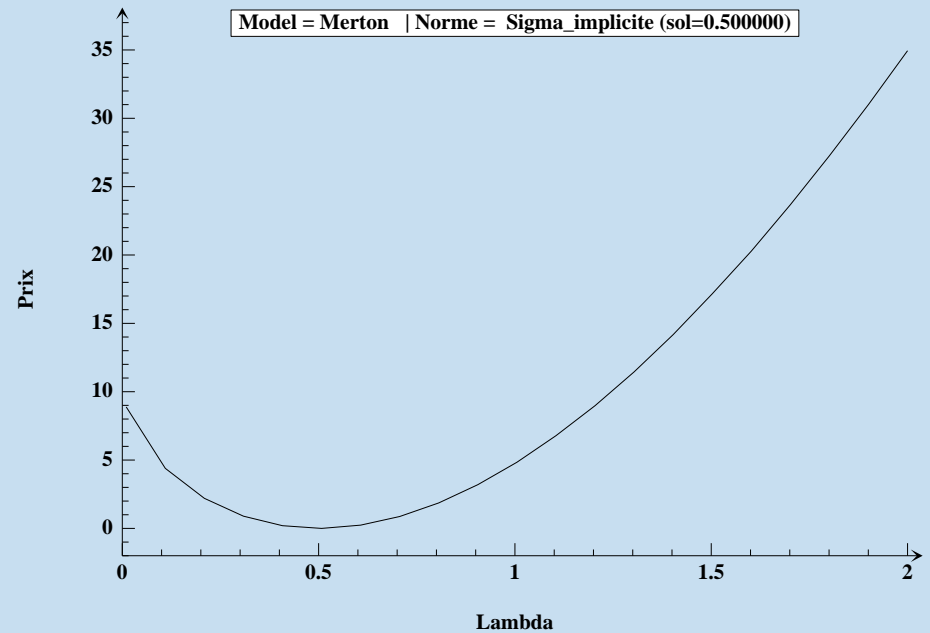
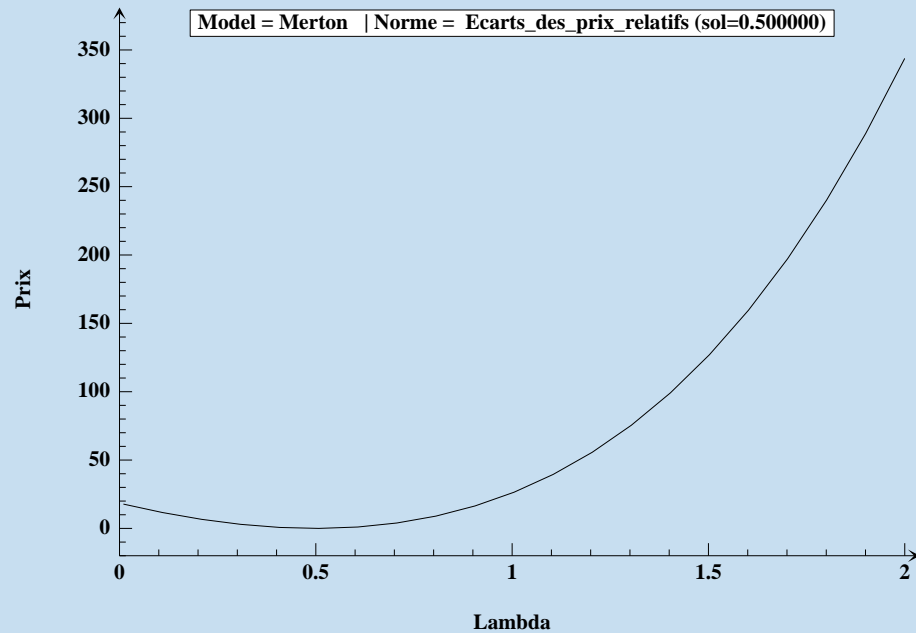
• *Fonction objective*

- Soit un ensemble d'options, de prix observées $prix_i^{obs}$, on définit 3 types de fonctions à minimiser :

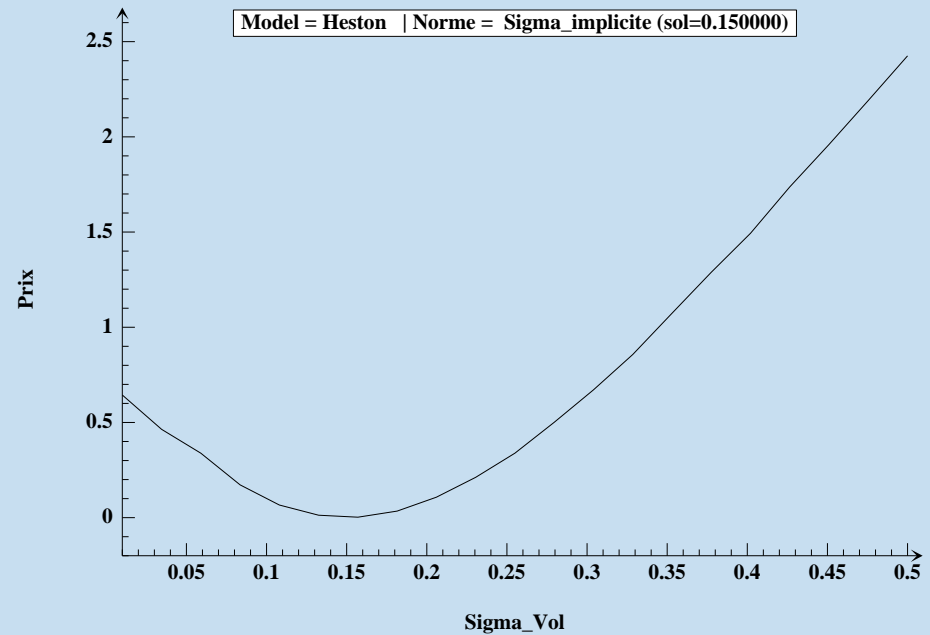
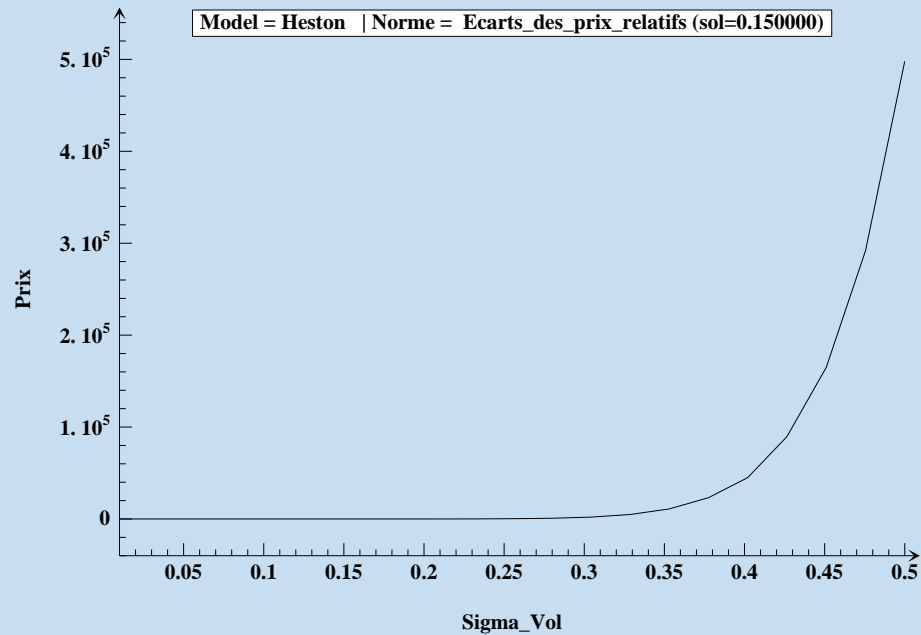
$$\begin{cases} f_1 &= \sum_i ||prix_i - prix_i^{obs}||^2 \\ f_2 &= \sum_i ||\frac{prix_i - prix_i^{obs}}{prix_i^{obs}}||^2 \\ f_3 &= \sum_i ||\sigma_{imp,i} - \sigma_{imp,i}^{obs}||^2 \end{cases}$$

- Pour chacun des 3 cas et pour les 3 modèles on calcule les gradients $\nabla_{\alpha} f_j$ par des formules quasi-fermées semblables aux formules de pricing.
L'indice α représente un paramètre du modèle à calibrer (Merton ou Heston ou Merton+Heston).

: Allures des fonctions objectives (1)

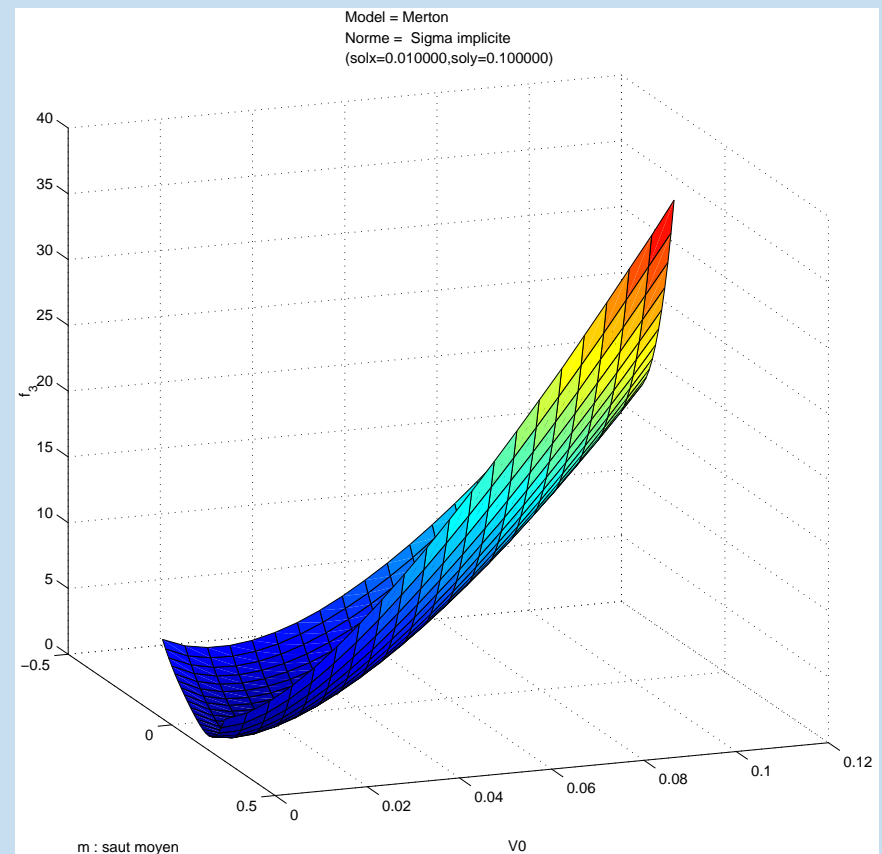
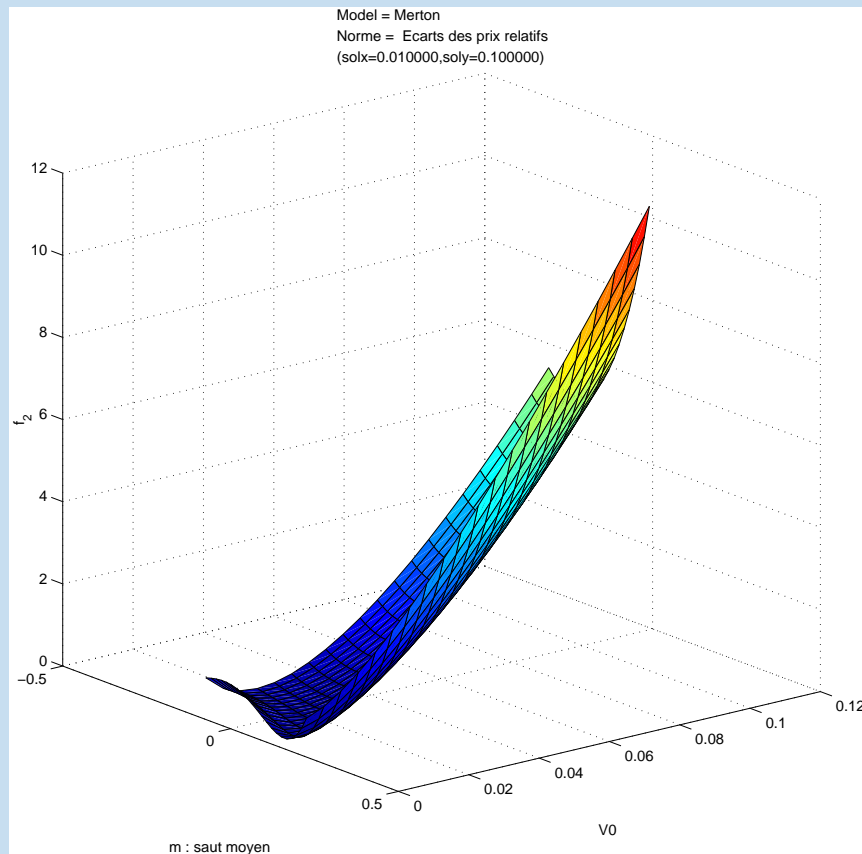


: Allures des fonctions objectives (2)



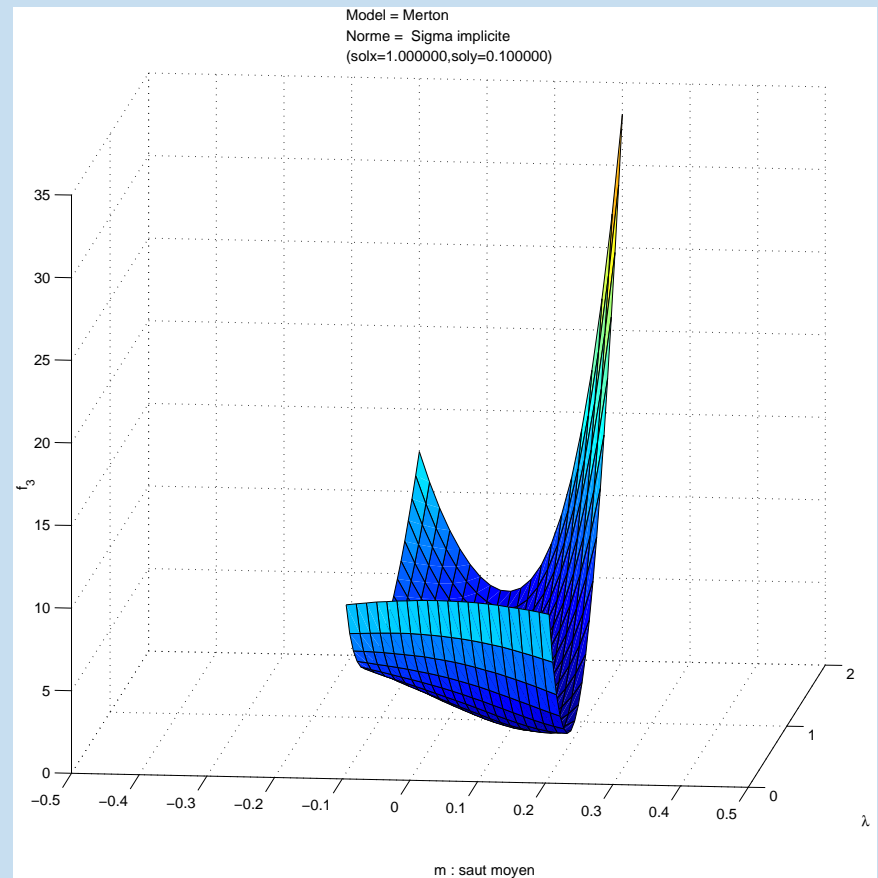
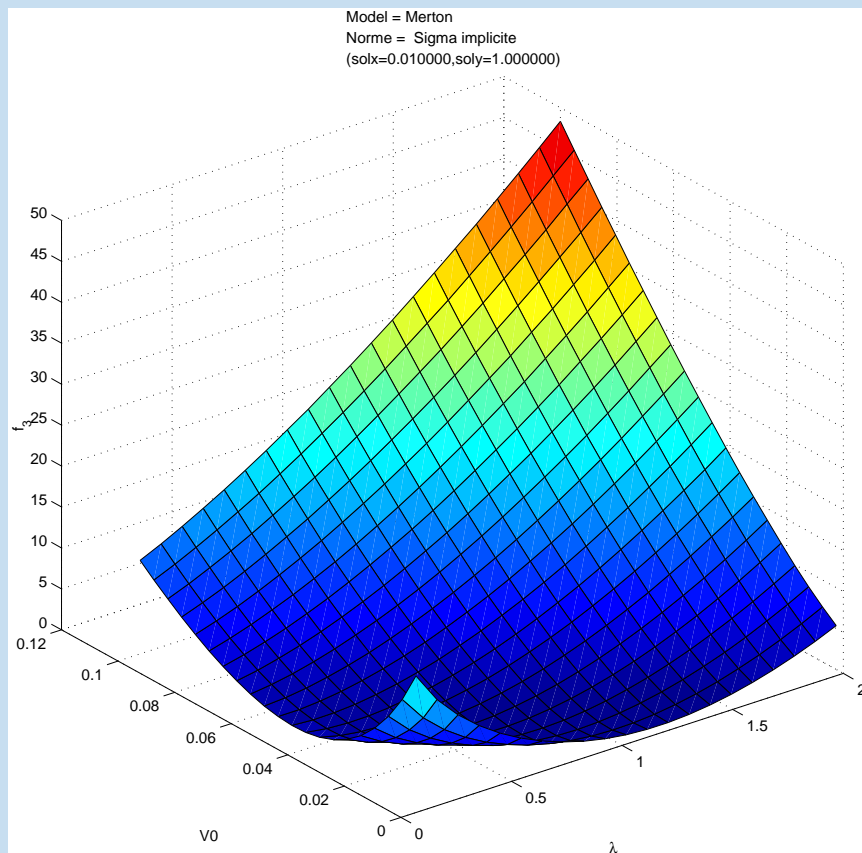
: Allures des fonctions objectives (3)

Merton



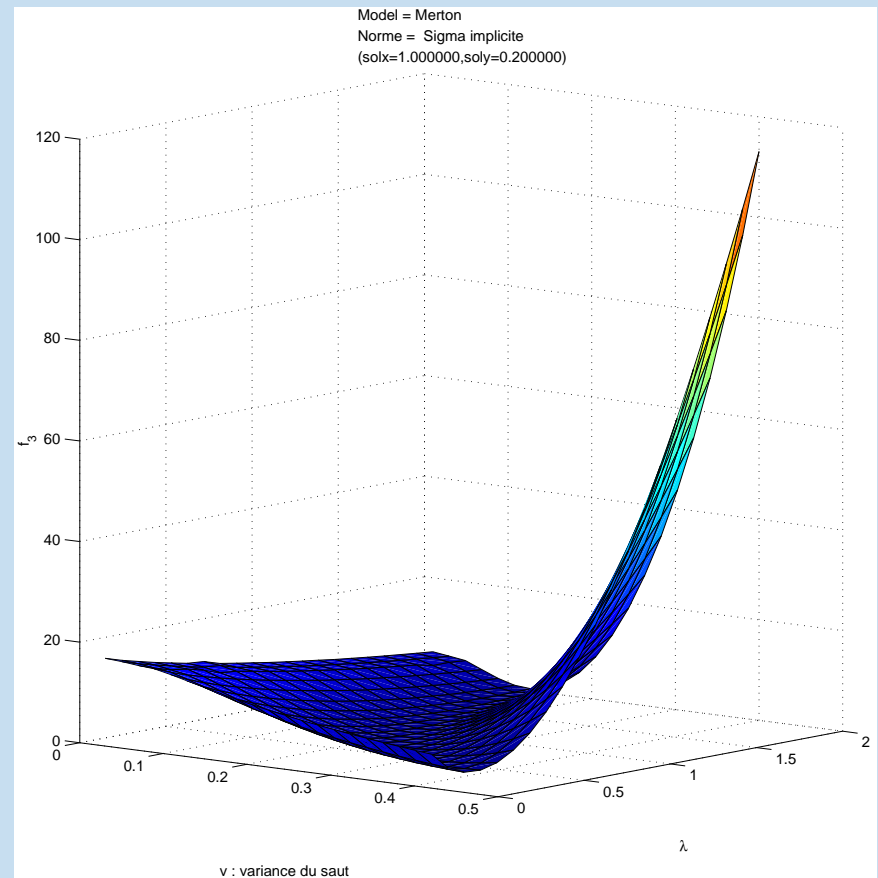
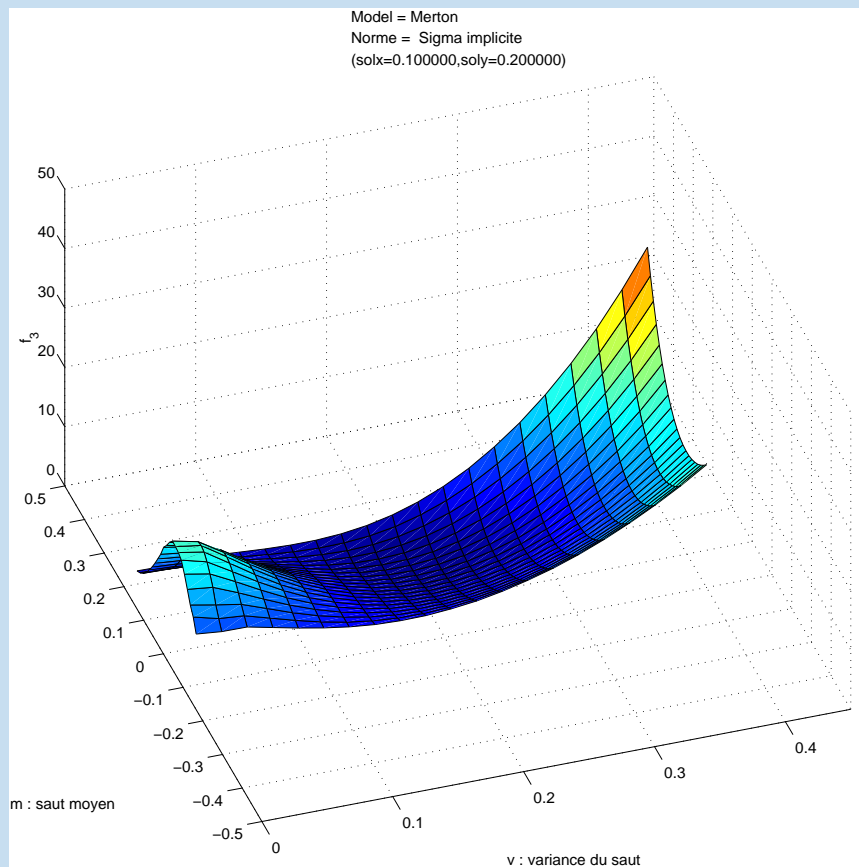
: Allures des fonctions objectives (4)

Merton



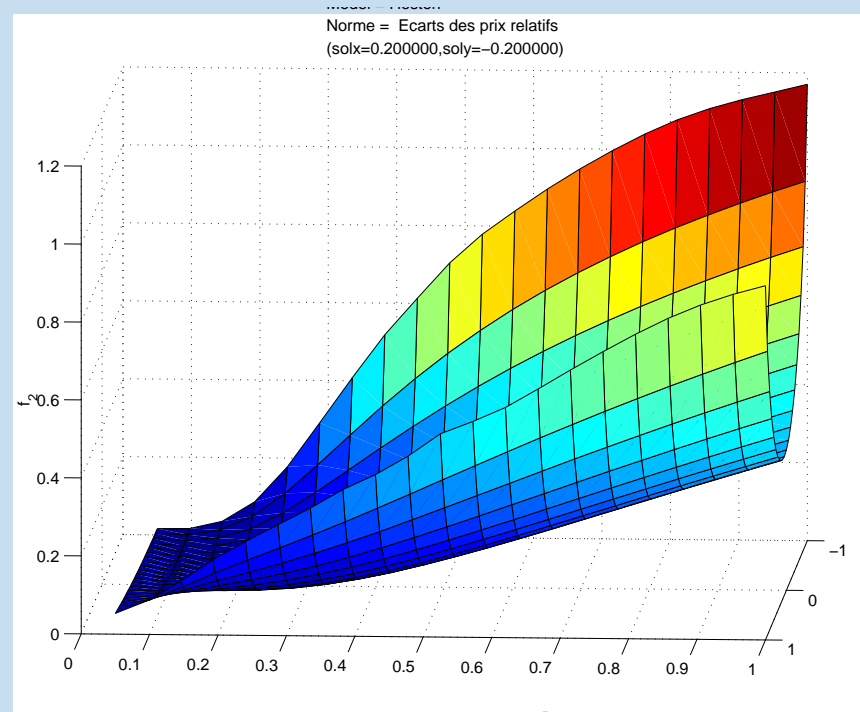
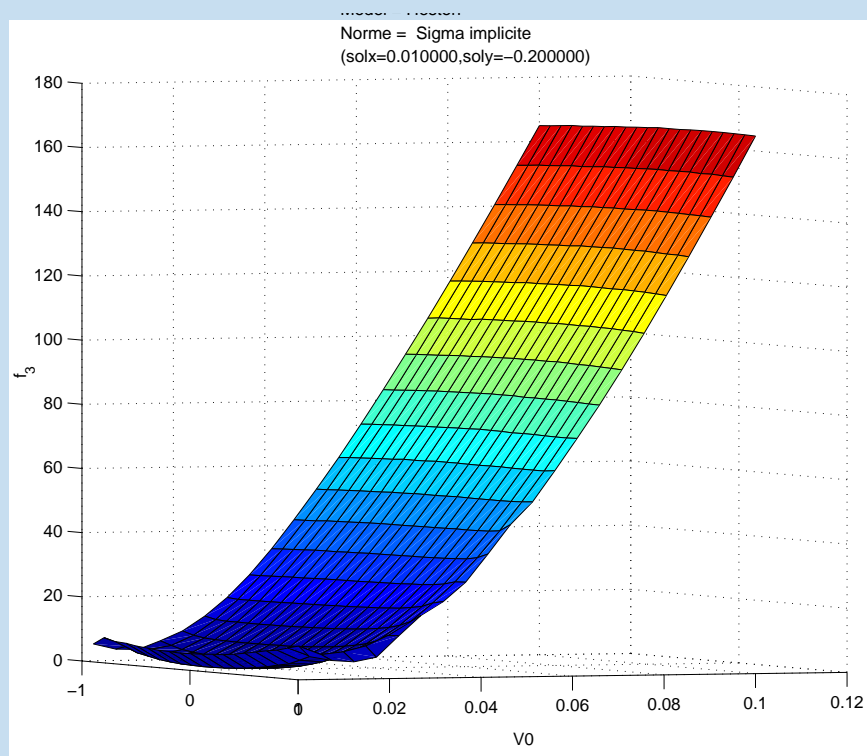
: Allures des fonctions objectives (5)

Merton



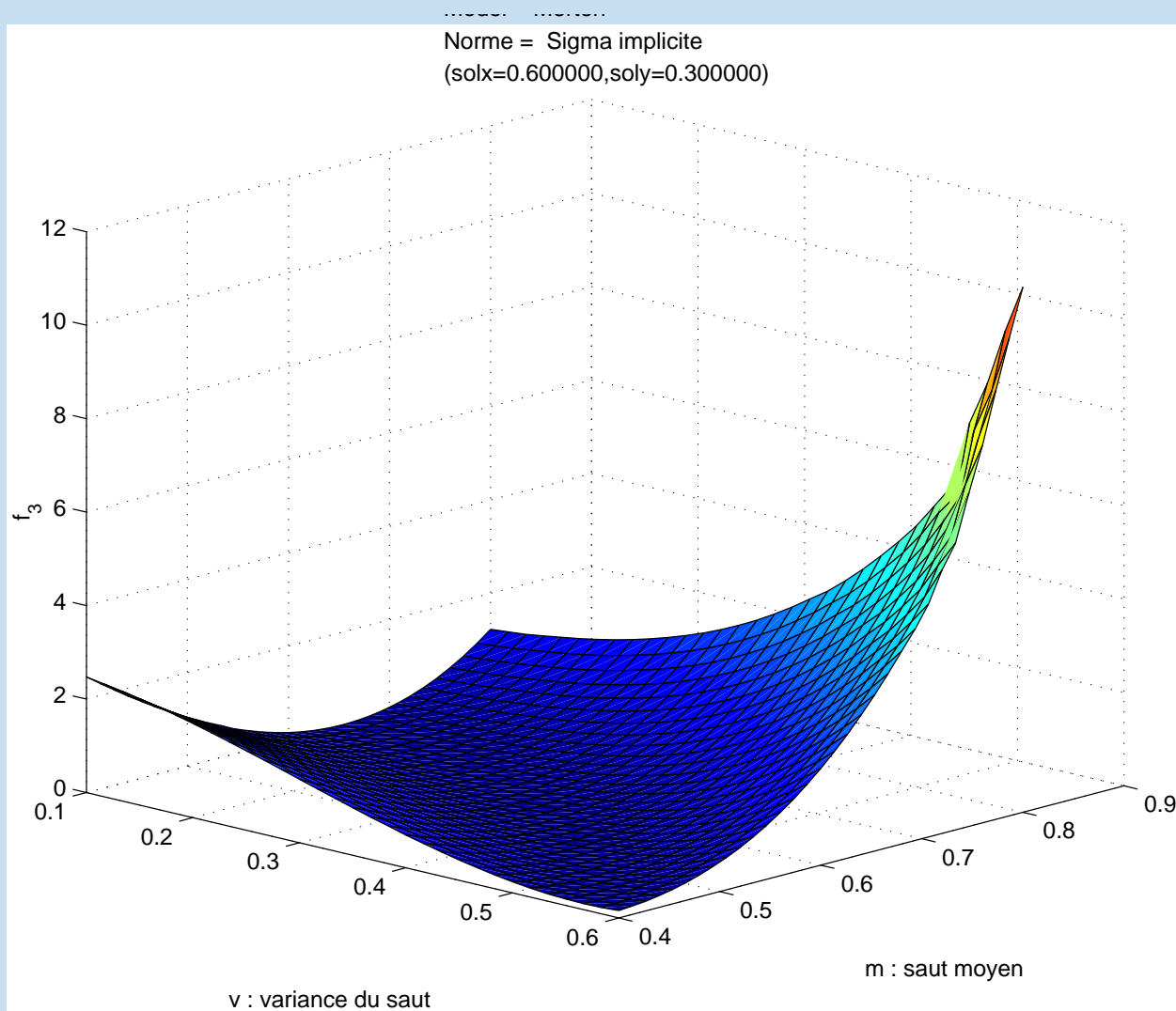
: Allures des fonctions objectives (6)

Heston



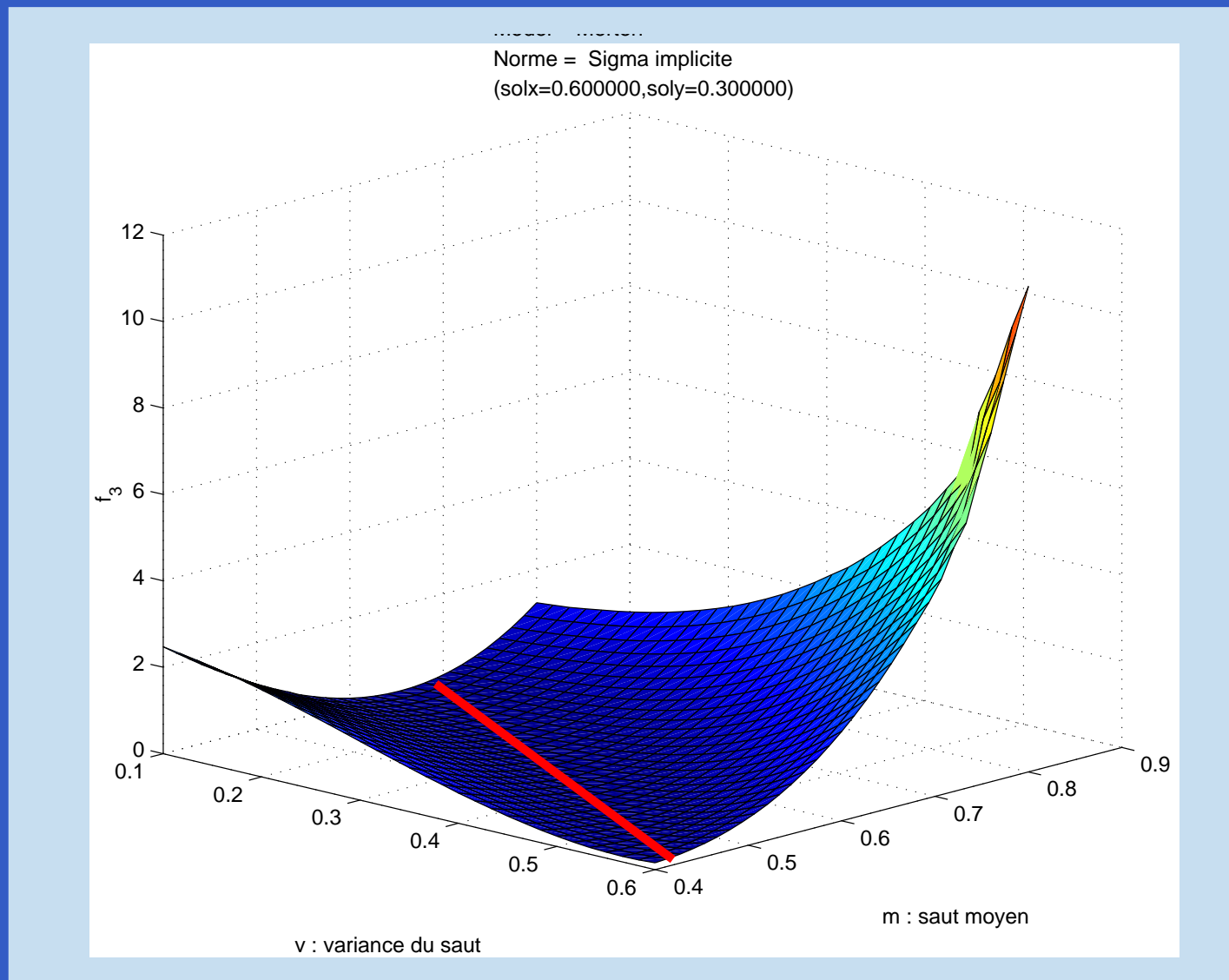
: Allures des fonctions objectives (7)

La vallée



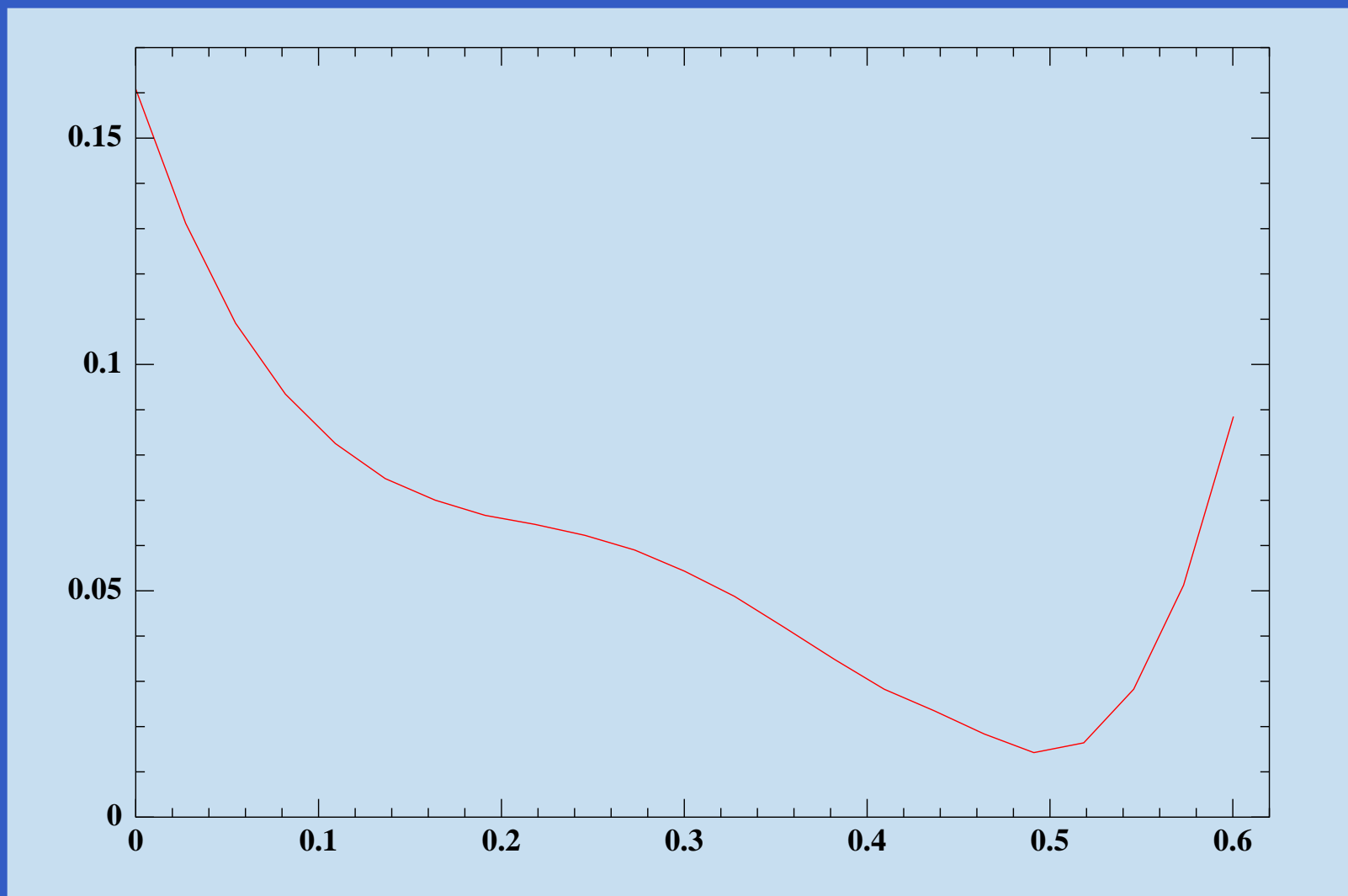
: Allures des fonctions objectives (7)

La vallée



: Allures des fonctions objectives (7)

La vallée



: *Etude des modèles et stratégies de calibration (1)*

- On choisit un jeu de paramètres $x_0 (= (\sigma_0, \lambda_0, m_0, v_0))$ pour Merton par exemple).

: Etude des modèles et stratégies de calibration (1)

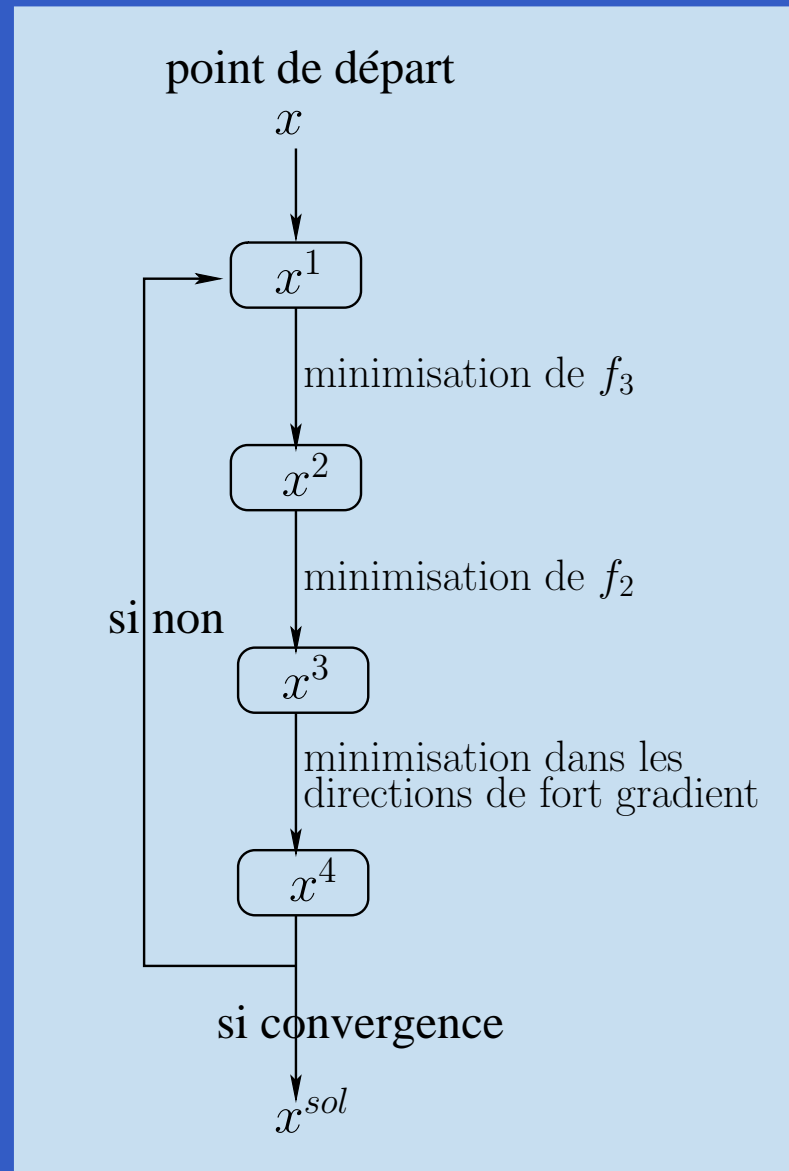
- On choisit un jeu de paramètres x_0 ($= (\sigma_0, \lambda_0, m_0, v_0)$ pour Merton par exemple).
- On se donne un ensemble de maturités T_i et de strike K_i pour lesquels on calcule les prix des call ou put européens avec les paramètres x_0 . Ces prix représentent les observés $price_i^{obs}$.

: Etude des modèles et stratégies de calibration (1)

- On choisit un jeu de paramètres $x_0 (= (\sigma_0, \lambda_0, m_0, v_0))$ pour Merton par exemple).
- On se donne un ensemble de maturités T_i et de strike K_i pour lesquels on calcule les prix des call ou put européens avec les paramètres x_0 . Ces prix représentent les observés $price_i^{obs}$.
- On part avec des paramètres $x (= (\sigma, \lambda, m, v))$ choisis aléatoirement, et on cherche à retrouver x_0 en minimisant la fonction objective f_j .

: Etude des modèles et stratégies de calibration (2)

Algorithme de calibration



- Calcul avec 1000 points de départ choisis aléatoirement.

- Calcul avec 1000 points de départ choisis aléatoirement.
- Pour les modèles de Merton ou de Heston la solution est retrouvée dans 99% des cas.

- Calcul avec 1000 points de départ choisis aléatoirement.
- Pour les modèles de Merton ou de Heston la solution est retrouvée dans 99% des cas.
- Pour le Modèle Heston+Merton, le taux de convergence n'est que de l'ordre de 50% : problème de minimas locaux.